

VZŤAH INDEXU SVETELNÉHO LOMU K ZLOŽENIU A KRYŠTALIZÁCII HLINITOKREMIČITÝCH VLÁKIEV

ZDENEK HRABĚ, STANISLAV CHROMÝ*, VIKTOR JESENÁK
OTOKAR KORÁB

Katedra chemickej technológie silikátov CHTF, Jánseka 1, 812 37 Bratislava
* Výzkumný ústav stavebních hmot, Hněvkovského 65, 617 00 Brno

Došlo 15. 12. 1982

Experimentálne výsledky stanovenia stredného indexu svetelného lomu súhlasia s výpočtom pomocou Appenových faktorov a preukazujú výhovujúcu lineárnu aditívitu priespevkov indexu lomu hlavných zložiek hlinitokremičitých vlákien pre oblasť zloženia 0 až 60 % mol. Al₂O₃. Odvozujú sa regresné koeficienty závislosti n_D od zloženia sklovitých vlákien. Linearita závislosti stredného indexu lomu od zloženia platí aj pre sklokeramický stav. Na základe stanovenia stredného indexu lomu temperovaných vlákien sa navrhuje spôsob určenia podielu mullitu po ich kryštalizácii.

ÚVOD

Použitie keramických vláknitých izolácií v priemysle umožňuje znižovať najmä energetické straty z vysokoteplotných výrobných agregátov a zvyšovať výrobnosť periodicky pracujúcich pecných jednotiek. Najviac se používajú izolačné vrstvy z hlinitokremičitých vlákien. Pri ich ohrevе nastáva postupná kryštalizácia pôvodne sklovitých vlákien. Fázové zmeny sú sprevádzané zmršťovaním vlákien, zmenu termomechanických vlastností a zvyšovaním hustoty a indexu lomu. V oblasti odporúčaných teplot pre použitie hlinitokremičitých vlákien súvisí zmena fyzikálnych vlastností so stupňom ich kryštalizácie. Napr. [1] uvádza, že keramické vlákno možno použiť do teploty, pri ktorej obsah kryštalických fáz dosiahne max. 40 až 60 %. Dietrichs [2] navrhuje ako kritérium použiteľnosti vlákien teplotu, pri ktorej po 24 hodinovom výpale dosiahnú kryštály velkosť zrovnatelnú s priemerom vlákna.

Rovnovážne pomery fáz hlinitokremičitých vlákien sú charakterizované sub-solidusovou časťou fázového diagramu SiO₂—Al₂O₃, v ktorej sa popisuje oblasť metastabilného odmiesenia na vysokohlinité a vysokokremičité sklá. Veľšina autorov sa v podstate zhoduje na pomeroch zložiek, pri ktorých nastáva odmiesenie; zásadné rozdiely sú však pre údaje teploty, nad ktorou je systém homogénny. Pask a Risbud [3, 10] udávajú 1540 °C, Jantzen s Hermanom okolo 700 °C [4, 5], Takamori a Roy [6] spochybňujú existenciu odmiesenia. Všetci autori však zhodne poukazujú na existenciu veľmi jemnej, vzájomne prepojenej štruktúry náhle podchladených vzoriek v oblasti zloženia 50 až 15 % mol. Al₂O₃. Veľkosť oblasti fluktuačie zloženia je na úrovni 5 až 10 nm [6, 7].

V koncentračnej oblasti zloženia najviac vyrábaných hlinitokremičitých vlákien (v ďalšom teste A—S vlákna) je oprávnený predpoklad, že kryštalizácia nastáva mechanizmom nukleácie a rastom kryštálov (vyše 50 % mol. Al₂O₃), alebo po predchádzajúcom odmiesení (50 až 15 % mol. Al₂O₃), resp. spinodálnom rozklade (10 až 30 % mol. Al₂O₃) [7]. Vo všetkých prípadoch vznikajú kryštalické fázy sub-mikroskopických rozmerov, neidentifikovateľné RTG-fázovou analýzou. Až postupným rastom nad úroveň asi 10⁻² μm možno preukázať prítomnosť kryštálov

na základe diskrétnych difrakčných máxim. Z uvedeného mechanizmu separácie fáz pri ohrevu sklovitého vlákna vyplýva vznik veľmi jemných a v celom objeme vlákna homogénne rozdelených kryštalických fáz.

A—S vlákna sú v metastabilnom, RTG-amorfnom, stave. Zahrievaním relaxujú do sklokeramického stavu; zvyšuje sa podiel oktaedricky koordinovaného hliníka [8]. Ďalším zvyšovaním teploty a predĺžovaním doby výpalu rastú kryštálky mullitu. Nekryštalický podiel sa obohacuje o SiO_2 . V záverečnej etape vzniku mullitu mení sa zvyškové sklo na kubický cristobalit. Malé rozmerы kryštálov cristobalitu v tuhom okolí zvyškového skla a mullitu dovoľujú predpokladať, že aj po ochladení sa zachová vysokoteplotná modifikácia. Táto modifikácia má index lomu blízky kremennému sklu ($n_S = 1,459$), zatiaľ čo stredný index lomu mullitu je značne vyšší ($n_M = 1,648 - 1,655$). V teplotnej oblasti eutektickej teploty sústavy A—S vzniká tavenina, mizne cristobalit a znížuje sa podiel mullitu [9].

Fázové zmeny v A—S vláknoch sa väčšinou identifikujú RTG-difrakčnou analýzou [9, 19, 23]. Bežné je aj kvantitatívne difrakčné stanovenie obsahu kryštalických fáz [19]. Ďalšie metódy stanovenia, založené napr. na rozptyle svetla, lome svetla (index lomu), na zmenách hustoty alebo využívajúce zmenu elektrických vlastností (permitivity, stratového uhla) neboli doteraz v oblasti vláken využité.

V tejto časti práce si autori vytýčili cieľ overiť predpoklad o aditívnosti príspevkov indexu lomu hlavných zložiek v oblasti zloženia hlinitokremičitých vláken v sklovitom a kryštalickom stave a využiť rýchlu metódu merania indexu lomu k stanoveniu obsahu mullitu v čiastočne vykryštalizovaných vláknoch.

Všetky ďalej uvádzané hodnoty indexu lomu, n , sú stanovené, alebo vypočítané pro $\lambda_D = 589 \text{ nm}$ (Na-zdroj). Použité symboly: A — Al_2O_3 , S — SiO_2 , M (index) — mullit, M — rel. mólová hmotnosť, G a G' — sklo a zvyškové sklo, w — hmotnostný zlomok, x — mólový zlomok, xx — symbol pre kryštalický stav (index) a kombinácie symbolov, napr. n_{GM} označuje index lomu skla o zložení mullitu.

EXPERIMENTÁLNA ČASŤ, VÝSLEDKY A DISKUSIA

Výpočet indexu lomu na základe aditívity príspevkov zložiek skla $\text{SiO}_2 - \text{Al}_2\text{O}_3$

Index lomu zaraďuje Volf [11] do 2. skupiny vlastností skiel a pre tieto vlastnosti využuje princíp aditívnosti príspevkov zložiek, vhodne vyjadrený Appenom [12]

$$n = \sum_i x_i k_i, \quad (1)$$

kde n je index lomu skla, k_i — stredná hodnota Appenovho faktora pre index lomu n zložky i , zastúpenej v skle mólovým zlomkom x_i . V súvislosti s rôznoou koordináciou uvádzajú sa pre k_i hodnoty $k_S = 1,459$ až $1,475$, $k_A = 1,52$ a $1,70$ [11, 12, 13]. Spoľahlivosť výpočtu pre sklá, obsahujúce Al_2O_3 je obmedzovaná na oblasť zloženia, v ktorej $x_A \leq 0,2$ [11, 12]. Vzhľadom k skutočným hodnotám indexu lomu čistých zložiek sústavy A—S sa pre výpočet použili $k_S = 1,459$ a $k_A = 1,70$. Výpočtom pre sklo zloženia mullitu sa určil $n_{GM} = 1,603$, čo je v priateľnej zhode s ďalej uvedenou experimentálnou hodnotou [14]. Za predpokladu aditívnosti indexu lomu zložiek sústavy A—S v oblasti zloženia $x_S = 1$ až $0,4$ potom platí vzťah:

$$n_G = k_S + (k_A - k_S)(1 - x_S), \quad (2a)$$

$$n_G = a_O + a_1(1 - x_S). \quad (2b)$$

ktorého hodnoty a_O, a_1 sú uvedené v tab. II-A.

Experimentálne údaje závislosti indexu lomu od zloženia A—S skla

Pre index lomu skla v sústave A—S publikovali údaje Thompson s Parmeleem [15] a Aramaki s Royom [14]. Zatiaľ čo staršie údaje [15] sú iba pre oblasť 0 až 32 % hm. Al_2O_3 a sú nevhodne korelované s hmotnosťným podielom zložiek, autori [14], pri správnej korelácií s mоловým zlomkom (veľmi blízkym parciálnym mоловým objemom zložiek), dosiahli lineárnu závislosť n od x_A v rozsahu zloženia x_A 0 až 0,6. Koeficienty regresného vzťahu, odvodenej z ich experimentov (tab. II-B) sú v dobrom súhlase s (tab. II-A) a súčasne s údajom Mac Dowella a Bealla [7] pre hlinitokremičité sklo s obsahom 15 % mol. Al_2O_3 .

Použitá metóda stanovenia indexu lomu

Stredný index lomu sa v ďalšom stanovoval metódou sumárneho efektu s teplotou variáciou [16, 17]. Metóda bola vyvinutá pre vláknité materiály s priemerom vlákna v jednotkách mikrometrov. Predpokladá transparentný preparát. Transparentnosť resp. translucencia sklovitého A—S vlákna sa zachováva aj po kryštalizácii, pokiaľ kryštaličné fázy majú rozmery menšie alebo porovnávateľné s vlnovou dĺžkou použitého žiarenia — svetla. Pri kryštalizácii A—S vláken je tento predpoklad splnený aj pri obsahu vyše 50 % kryštaličných fáz, t.j. v etape rastu kryštálov mullitu a aj po vzniku menších podielov cristobalitu. Index lomu možno stanoviť priamo zo vzorky vlákna (postačuje asi 50 mg) alebo z vlákna rozotretého na analytickú jemnosť. Kritériom pre určenie indexu lomu (n) je teplota imerznej kvapaliny, pri ktorej nastalo optické splynutie fáz pod mikroskopom. Objektívne sa indikuje ako maximum priepustnosti preparátu. V úzkej teplotnej oblasti možno zanedbať teplotnú zmenu n tuhých fáz v porovnaní s veľkou zmenou n imerzného prostredia. Presnosť stanovenia n pri použití mikroskopickej zostavy Varioindex SE je na úrovni $\pm 2 \cdot 10^{-4}$ a správnosť lepšia ako $1 \cdot 10^{-3}$. Vlastné stanovenie netrvá viac ako 15 minút [17].

Index lomu sklovitých vláken

A—S vlákna obsahujú popri hlavných zložkách SiO_2 a Al_2O_3 aj TiO_2 , Fe_2O_3 , Na_2O , K_2O , CaO , MgO , B_2O_3 , Cr_2O_3 a príp. ďalšie znečisteniny zo surovín a z výrobných zariadení. Väčšina vyrábaných vláken má obsah $(\text{SiO}_2 + \text{Al}_2\text{O}_3)$ vyšši ako 98 % hmotn. Najnižší index lomu z uvedených zložiek má SiO_2 vo forme kremenného skla [11]. Prispevky indexu lomu minoritných zložiek možno zahrnúť do výpočtu podľa práce [18] alebo s využitím Appenových faktorov [12, 13].

V ďalšom bude korelovaný index lomu s mоловým zlomkom ($1 - x_S$). V technickej čistej sústave zodpovedá jeho hodnota súčtu mоловých zlomkov všetkých oxidov mimo SiO_2 . Väčšina minoritných zložiek, najmä Fe_2O_3 a TiO_2 sa zabudovať vávajú do štruktúry vznikajúceho mullitu [19], svojim príspevkom indexu lomu sa bližia Al_2O_3 a preto ich zahrňujeme do obsahu zložky Al_2O_3 .

Ak v uvedenej sústave sú parciálne mоловé objemy hlavných zložiek nezávislé od zloženia, možno predpokladať v priebehu kryštalizácie aj linearitu n od ($1 - x_S$). Predpokladaná závislosť bola overená na sérii vzoriek A—S vláken, ktorých zloženie je v tab. I a výsledky experimentálneho stanovenia stredného indexu

lomu sú graficky znázornené na obr. 1 priamkou n_G . Experimentálne zistené koeficienty (tab. II-C) regresného vzťahu (2) sú v dobrej zhode s výpočtom podľa Appena. Korelačný koeficient r_{xy} pre celý súbor experimentálnych bodov je 0,998. Pomocou experimentálne zistených koeficientov je hodnota indexu lomu skla o zložení mullitu $1,599 \pm 0,005$, čo je v dobrej zhode s výsledkom Aramakiho 1,597 [14].

Tabuľka I

Chemické zloženie vzoriek hlinitokremičitých vláken (na vyžíhaný stav)

Zložka	Obsah zložky (% hmotn.) ve vzorke						
	I	II	III	IV	V	VI	VII
SiO ₂	57,83	53,48	49,35	44,34	40,05	36,06	33,35
Al ₂ O ₃	41,06	45,06	47,86	53,95	58,27	62,29	62,46
Fe ₂ O ₃	0,10	0,65	1,55	1,32	0,68	0,89	3,58
CaO	0,52	0,16	0,28	0,15	0,24	0,12	0,20
MgO	0,02	0,05	0,12	0,04	0,06	0,03	0,07
TiO ₂	0,08	0,02	0,32	0,01	0,02	0,01	0,14
Na ₂ O	0,27	0,51	0,11	0,23	0,65	0,08	0,23
K ₂ O	0,05	0,03	0,22	0,04	st.	0,02	0,05
Cr . 10 ⁻⁴	—	31	82	64	5	37	—
Zr . 10 ⁻⁴	—	156	130	50	897	12	—
n_G	1,528	1,539	1,549	1,555	1,569	1,579	1,588
n_{xz}	1,558	1,571	1,580	1,596	1,609	1,629	1,633
* n_G	1,530	1,539	1,547	1,558	1,569	1,578	1,585
(1 - x_S)	0,2033	0,3402	0,3761	0,4249	0,4704	0,5084	0,5379

Pozn.: * n_G je hodnota stredného indexu lomu, vypočítaná z $(1 - x_S)$ pomocou korelačného vzťahu (2)

Tabuľka II

Porovnanie hodnôt koeficientov rovnice (2b)

Zdroj pre odvodenie	Sklovitý stav			Vykryštalizované vlákna			Pre x_A
	a_0	a_1	r_{xy}	a_0	a_1	r_{xy}	
A. Výpočtom pomocou aditívity n	1,459	0,241	—	1,459	0,322	—	0 až 1
B. Z práce Aramakiho a Roya [13]	1,457	0,234	0,999	—	—	—	0 až 0,6
C. Z experimentov v tejto práci	1,459 ± 0,002	0,234 ± 0,005	0,998 —	1,459 ± 0,002	0,325 ± 0,005	0,999 —	0 až 0,6
D. Spracovaním experimentov [16, 19]	1,468 ± 0,002	0,207 ± 0,008	0,996 —	—	—	—	0,3 až 0,4
E. Z prác B + C	1,458 ± 0,002	0,235 ± 0,004	0,998 —	—	—	—	0 až 0,6

Pre porovnanie sa ďalej odvodili regresné koeficienty aj z výsledkov prác Chro- mého, Hložeka a Přidala [17, 20], ktorí pozorovali z vlákien typu Termovit a Rezis- tex závislosť indexu lomu na module vlákna, tj. na pomere hmotnostných zlomkov zložiek w_S/w_A v rozmedzí 50 až 59 % hmotn. SiO_2 (tab. II-D).

Index lomu kryštalizovaných vlákien

Teplotná závislosť fázového zloženia rôznych A—S vlákien bola predmetom veľkého počtu prác [9, 19, 21—23]. Na príklade (obr. 2) sú znázornené charakteristické zmeny fázového zloženia s teplotou, stanovené pre vzorku II s obsahom 54 % SiO_2 .

Po výpale na 1300 až 1500 °C (podľa druhu vlákna) dosahuje index lomu najvyššiu hodnotu, ktorá nasvedčuje na vznik maximálneho podielu mullitu. Pre ďalší časť práce sa pripravili vzorky vlákien s maximálnym obsahom mullitu temperovaním 4 až 6 hodín pri rôznych teplotách v uvedenej teplotnej oblasti. Vzorky príslušného vlákna, ktoré vykázali najvyšší stredný index lomu a súčasne najvyšší pomer integrálnej intenzity rtg-difrakcie mullitu k vnútornému štandardu (rutilu), sú ďalej označované ako celkom vykryštalizované vlákna.

Závislosť stredného indexu lomu celkom vykryštalizovaných vlákien (n_{zz}) od zloženia možno opäť interpretovať ako lineárnu (tab. II-C, obr. 1) s korelačným koeficientom 0,999. Z odvodenej závislosti vyplýva pre čistý cristobalit stredný index lomu 1,459 a pre mullit 1,654, ktorý je v dobrej zhode s prehľadom údajov n rôznych mullitov v práci Konopického [19].

Vzťah stredného indexu lomu a obsahu mullitu v čiastočne vykryštalizovanom skle

Zmeny indexu lomu (obr. 1 a 3) súvisia so zvýšením podielu mullitu pri temperovaní vlákien. Odvodené regresné vzťahy pre n sklovitých a celkom vykryštalizovaných vlákien sa využili k výpočtu hmotnostného podielu mullitu.

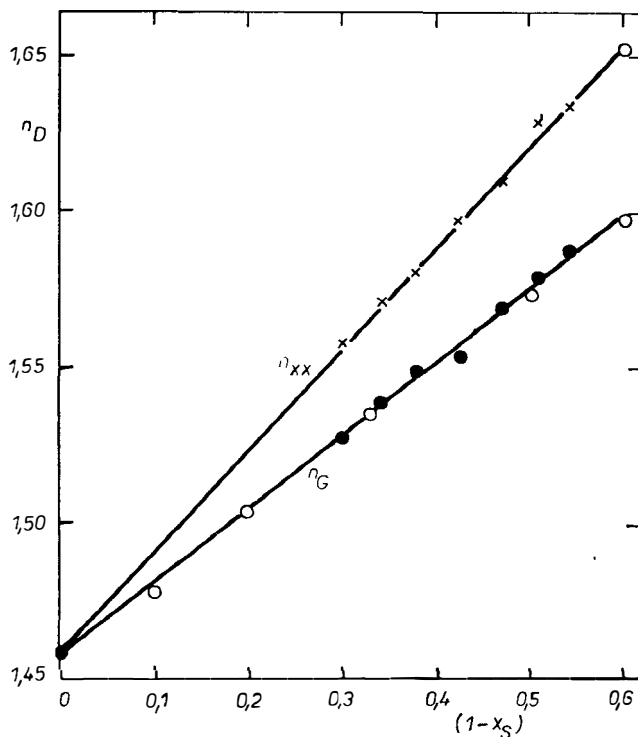
Výpočet podielu mullitu je založený na stanovení stredného indexu lomu čiastočne kryštalického — temperovaného — skla, n_T , a na aplikácii pákového pravidla. Odvodenie je znázornené na obr. 3. Z pôvodného skla (zloženia $x_S + x_A = 1$) s indexom lomu n_G vznikne temperovaním mullit, obsahujúci $x_{AM} \text{Al}_2\text{O}_3$ s indexom lomu n_M . Súčasne je prítomné zvyškové sklo, prípadne sklo s cristobalitom. Pri preukázanej platnosti aditivity indexu lomu zložiek pre sklovitý aj sklokeramický stav je zloženie zvyškového skla (resp. skla včítane cristobalitu) určené súradnicou $x_{AG'}$, trojuholníka $n_{MnGm}n_G$. Bod n_T rozdeľuje stranu trojuholníka na úsečky a a b . Ich pomer udáva podiel látkového množstva zložiek mullitu v_M a zvyškového skla v_G' . Bod n_{GM} pre zloženie x_{AM} je určený hodnotou indexu lomu skla zloženia nullitu. Bod n_{zz} je stredný index lomu celkom vykryštalizovaného skla zloženia x_A . Hodnoty n_{GM} a n_M sú konštanty a pre použitý zdroj Na-svetla má ($n_M - n_{GM}$) hodnotu $5,46 \cdot 10^{-2}$.

Ak sústava A—S obsahuje menej prímesí ako 2 % hmot., čo je charakteristické pre hlinitokremičité vlákna, nahradí sa bez väčšej chyby x_A hodnotou $(1 - x_S)$ (vid. 2.2.3).

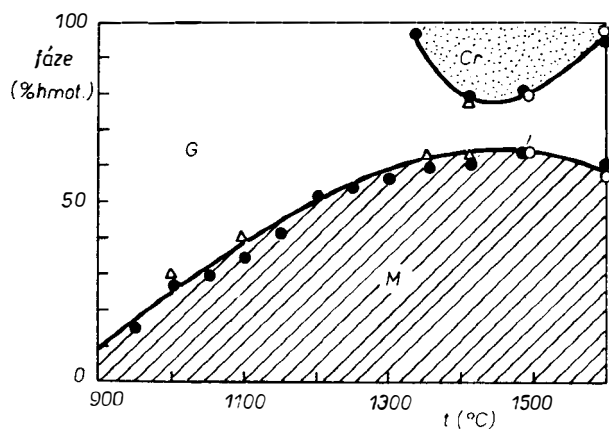
Vstupné údaje pre výpočet obsahu mullitu sú:

a) stredný index lomu temperovaného vlákna, n_T , a

b) index lomu, n_G , stanovený z pôvodného nekryštalického vlákna, alebo vypočítaný z údajov chemického zloženia vlákna pomocou odvodeného korelačného vzťahu (tab. 2-C).



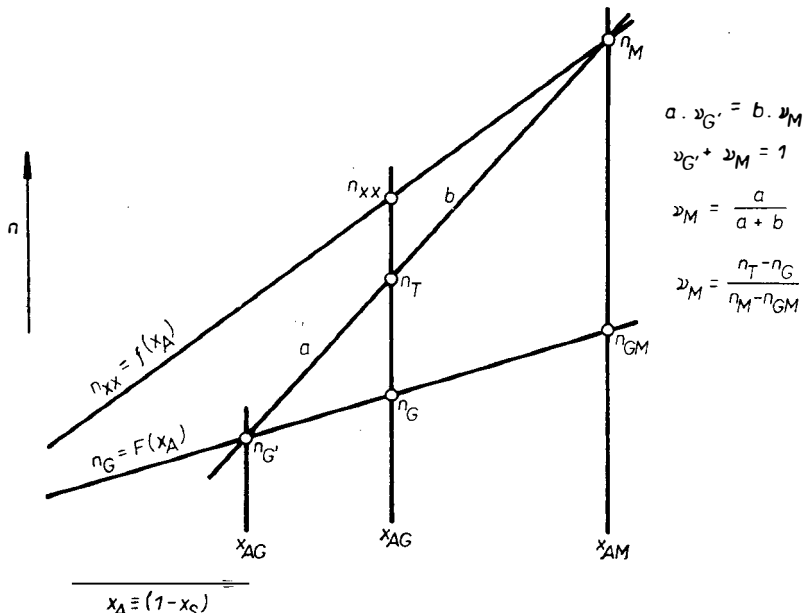
Obr. 1. Závislosť indexu svetelného lomu pre skla (n_G) a kryštalizované sklá (n_{zz}) od zloženia v sústave $\text{Al}_2\text{O}_3-\text{SiO}_2$; ●, x — experimentálne body, ○ — prevzaté z [14].



Obr. 2. Zmeny fázového zloženia vzorky II. Doba výpalu pri uvedených teplotách; ● — 90', △ — 480', ○ — 240', M — mullit, Cr — cristobalit, G — sklo.

Látkové množstvo (v_M) zložiek A a S, prítomných vo forme mullitu v temperovanom vlákne (obr. 3) je

$$v_M = \frac{n_T - n_G}{n_M - n_{GM}} . \quad (3)$$



Obr. 3. Schéma výpočtu podielu mullitu v temperovaných vláknoch; v — látkové množstvo zložiek Al_2O_3 a SiO_2 v mullite (v_M) a v zvyškovom skle (v_G).

Prepočet obsahu mullitu na hmotnostné jednotky udáva vzťah

$$\% \text{ mullitu} = 100 w_M = v_M \cdot \frac{M_M}{z} \cdot \frac{100}{(1 - x_S) \cdot (M_A - M_S) + M_S} , \quad (4)$$

kde z je počet mólov zložiek A a S v A_3S_2 ($z = 5$),

w_M — hmotnostný zlomok mullitu v temperovanom vlákne,
 M_A , M_S a M_M — relatívne mólové hmotnosti Al_2O_3 , SiO_2 a mullitu.

Pre meranie s monochromatickým zdrojom Na-svetla a po dosadení číselných hodnôt konštánt platí

$$\% \text{ hmot. mullitu} = 0,372 \frac{n_T - n_G}{(1 - x_S) + 1,434} \cdot 10^4 . \quad (5)$$

Odvodený postup sa využil v ďalšej práci [24] pri sledovaní vplyvu pevného prostredia na stupeň kryštalizácie A—S vlákiens.

ZÁVERY

Overila sa aditivita indexu lomu zložiek sústavy Al_2O_3 — SiO_2 v oblasti 0—60 % mol. Al_2O_3 pre sklovitý aj sklokeramický stav sústavy (obr. 1). Stanovenie stred-

ného indexu lomu možno výhodne využiť pre kontrolu zloženia vyrábaných hlinitokremičitých vlákien.

Zvolená technika merania stredného indexu lomu teplotnou variáciou imerzného prostredia s objektívou indikáciou maxima svetelnej priepustnosti [16, 17] dovoľuje v priebehu 15 minút s vyhovujúcou presnosťou stanoviť index lomu sklovitých aj kryštalizovaných vlákien.

Zmeny indexu lomu hlinitokremičitého vlákna po výpale súvisia so vznikom mullitu. Na základe stanovenia stredného indexu lomu a zloženia sa odvodil postup pre určenie podielu mullitu vo vypálených hlinitokremičitých vláknach.

Literatúra

- [1] Johns Manville, firemný prospekt, Rueil France, 1979.
- [2] Dietrichs P., Krönert W.: v: *Zborník XXIII. Kolokvia o žiaruvzdorných materiáloch*, str.109, Aachen 1981.
- [3] Risbud S. H., Pask J. A.: *J. Am. Cer. Soc.* **61**, 63 (1978).
- [4] Jantzen C. M., Schwahm D., Schelten J., Herman H.: *J. Appl. Cryst.* **11**, 614 (1978).
- [5] Jantzen C. M., Herman H.: *J. Am. Cer. Soc.* **62**, 212 (1979).
- [6] Takamori T., Roy R.: *J. Am. Cer. Soc.* **56**, 639 (1973).
- [7] Mac Dowell J. F., Beall C. W.: *J. Am. Cer. Soc.* **52**, 17 (1969).
- [8] Bulens M., Leonard A., Delnom B.: *J. Am. Cer. Soc.* **61**, 81 (1978).
- [9] Gaodu A. N., Pitak N. V.: *Neorg. Mat.* **13**, 2265 (1977).
- [10] Pask J. A., Risbud S. H.: *J. Am. Cer. Soc.* **60**, 418 (1977).
- [11] Volf M. B.: *Chemie skla*, str. 74 a 104, SNTL, Praha 1976.
- [12] Appen A. A : *Chimija stekla*, str. 302, Izd. Chimija, Leningrad 1970.
- [13] Fanderlík I.: *Optické vlastnosti skla*, str. 99, ed. Hutní sklárská příručka, SNTL, Praha 1979.
- [14] Aramaki S., Roy R.: *J. Am. Cer. Soc.* **45**, 229 (1962).
- [15] Thompson C. L., Parmelee C. W.: *J. Am. Cer. Soc.* **20**, 305 (1937).
- [16] Chromý S., Přidal J., Hložek M.: *Tagungsberichte 4. Mineralwolle Tagung*, KDT, Gera 1977.
- [17] Chromý S.: v: *Zborník Termanal '79*, SCHS, Bratislava 1979.
- [18] Majumdar A. J., Welch J. H., cit. v [18], (1963).
- [19] Konopicky K., Patzak I.: *Ber. Deutsch. Ker. Ges.* **51**, 285 (1974).
- [20] Chromý S., Hložek M., Přidal J.: *Nepublikované práce VÚSH*, Brno 1980.
- [21] Subotev J. G., Pitak N. V., Gaodu A. N.: *Proizvodstvo specialnykh ogneuporov*, Izd. Minist. čern. metallurgii ZSSR, Moskva (1981).
- [22] Beljakova N. I., Kutkov V. F. a ďalší: *Neorg. Mat.* **17**, 1279 (1981).
- [23] Pavlovskij J., Sopicka—Lizer M.: *Zborník VI. konferencie o žiaromateriáloch*, III. diel, str. 196, ČSVTS, DT Košice (1978).
- [24] Hrabé Z., Chromý S., Jesenák V., Ševčík F.: *Zborník VIII. konferencie o žiarobetónoch*, ČSVTS, DT Bratislava — v tlači.

ОТНОШЕНИЕ СВЕТОПРЕЛОМЛЕНИЯ К СОСТАВЛЕНИЮ И КРИСТАЛИЗАЦИИ АЛЮМОСИЛИКАТНЫХ ВОЛОКОН

Зденек Грабе, Станислав Хромы*, Виктор Есенак, Отакар Кораб

Кафедра химической технологии силикатов ХТФ

812 37 Братислава,

*Научно-исследовательский институт строительных материалов
617 00 Брано

Фазовые изменения при нагревании алюмосиликатных волокон сопровождаются изменениями термомеханических свойств, повышенным плотности и показатели свето-преломления. Изменение физических свойств связано с долей кристаллических фаз в волокне.

В предлагаемой работе рассматриваются предположения относительно линейной аддитивности долей показателя преломления основных компонентов в составе алюмосиликатных волокон в стекловидном и кристаллическом состояниях.

Экспериментальные результаты находятся в хорошем согласии с расчетом, полученным с помощью аддитивных факторов Аппена и являются свидетельством достаточной линейной зависимости показателя преломления от содержания основных компонентов стекла в области 0—60 % мол. Al_2O_3 . Было доказано, что линейная зависимость среднего показателя преломления от состава справедлива даже при стеклокерамическом состоянии. На основании установления среднего показателя преломления темперированных волокон авторами предлагается способ определения доли муллита после их кристаллизации (уравнения 3—5).

Рис. 1. Зависимость показателя светопреломления для стекол (n_G) и кристаллизованных стекол (n_{xz}) от состава в системе Al_2O_3 — SiO_2 ; •, x — экспериментальные точки, о — взято из [14].

Рис. 2. Изменение фазового состава пробы II. Время обжига при приводимых температурах; • — 90', Δ — 480', о — 240', M — муллит, Cr — кристобалит, G — стекло.

Рис. 3. Схема расчета доли муллита в темперированных волокнах; v — количество вещества компонентов Al_2O_3 и SiO_2 в муллите (v_M) и в остаточном стекле ($v_{G'}$).

RELATIONSHIP BETWEEN REFRACTIVE INDEX, COMPOSITION AND CRYSTALLIZATION OF ALUMINOSILICATE FIBRES

Zdeněk Hrabě, Stanislav Chromý*, Viktor Jesenák, Otakar Koráb

Department of Chemical Technology of Silicates

Faculty of Chemical Technology, 812 37 Bratislava

**Research Institute of Building Materials, 617 00 Brno*

Phase transformations taking place during the heating of aluminosilicate fibres lead to changes in thermomechanical properties and to an increase in density and in refractive index. The changes in physical properties are related to the relative content of crystalline phases in the fibre.

The paper was concerned with verifying the assumption of linear additivity of the contribution made by the main components to the refractive index within the composition range of aluminosilicate fibres in vitreous and crystalline state. Experimental results are in agreement with calculations based on Appen's additive factors and imply a satisfactory linearity of the dependence of refractive index on the content of main glass components in the range of 0 to 60 % Al_2O_3 . It has been shown that the linear relationship between mean refractive index and composition likewise holds for the glass-ceramic state. A method is suggested for determining the relative content of mullite in aluminosilicate fibres after their crystallization on the basis of measuring the mean refractive index of annealed fibres (equations 3 through 5).

Fig. 1. Refractive index for glasses (n_G) and crystallized glasses (n_{xz}) vs. composition in the system Al_2O_3 — SiO_2 •, x — experimental points, o — taken over from [14].

Fig. 2. Changes in phase composition of sample II. Time of firing at the given temperatures; • — 90', Δ — 480', о — 240', M — mullite, Cr — cristobalite, G — glass.

Fig. 3. Schematic calculation of relative mullite content in annealed fibres; v — amount of substance of Al_2O_3 and SiO_2 components in mullite (v_M) and in residual glass ($v_{G'}$).

J. P. CORNFELD, S. V. FOMIN a Y. G. SINAI: ERGODIC THEORY (Ergodická teorie). Překlad z ruského originálu A. B. Sossinskij. Springer-Verlag, Berlin-Heidelberg—New York 1982, 486 stran, cena 118 DM.

Každý makroskopický systém, plyn, kapalina, krystal apod. je souborem obrovského počtu atomů či molekul a jeho makroskopický stav lze uskutečnit obrovským počtem „mikrostavů“, tj. možných geometrických uspořádání a možných rozdělení celkové energie na tyto mikročástice. Ponecháme-li takový systém v daném pohybovém stavu, lze se domnívat, že samovolně projde dříve či později všemi „mikrostavy“, které jsou s jeho makrostavem slučitelné. To je obsahem ergodické hypotézy, kterou vyslovil v r. 1981 Boltzmann.